

Procjene maksimalnih godišnjih kratkotrajnih količina oborine na postaji Donji Miholjac

Geografska širina (φ): 45.76667° (629633.68E)

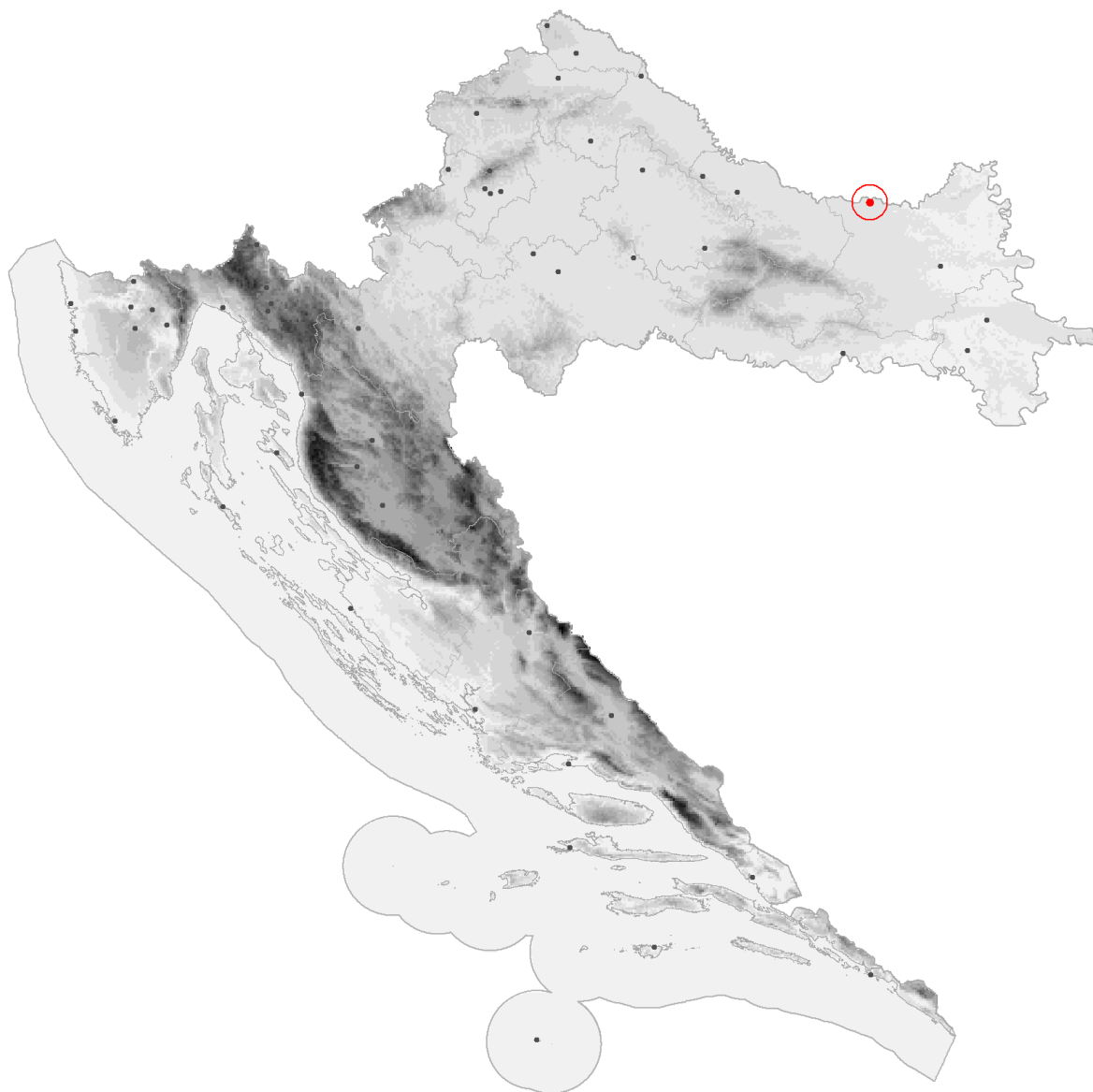
Geografska dužina (λ): 18.16667° (5070995.26N)

Nadmorska visina (h): 93 m

Razdoblje: 1961. – 2020.

Analizirani broj godina: 59 (98.3 %)

Nedostajuće godine: 1 (1.7 %) 1966



Najbliži ombrograf: Osijek, 43 km

Tablica 1.

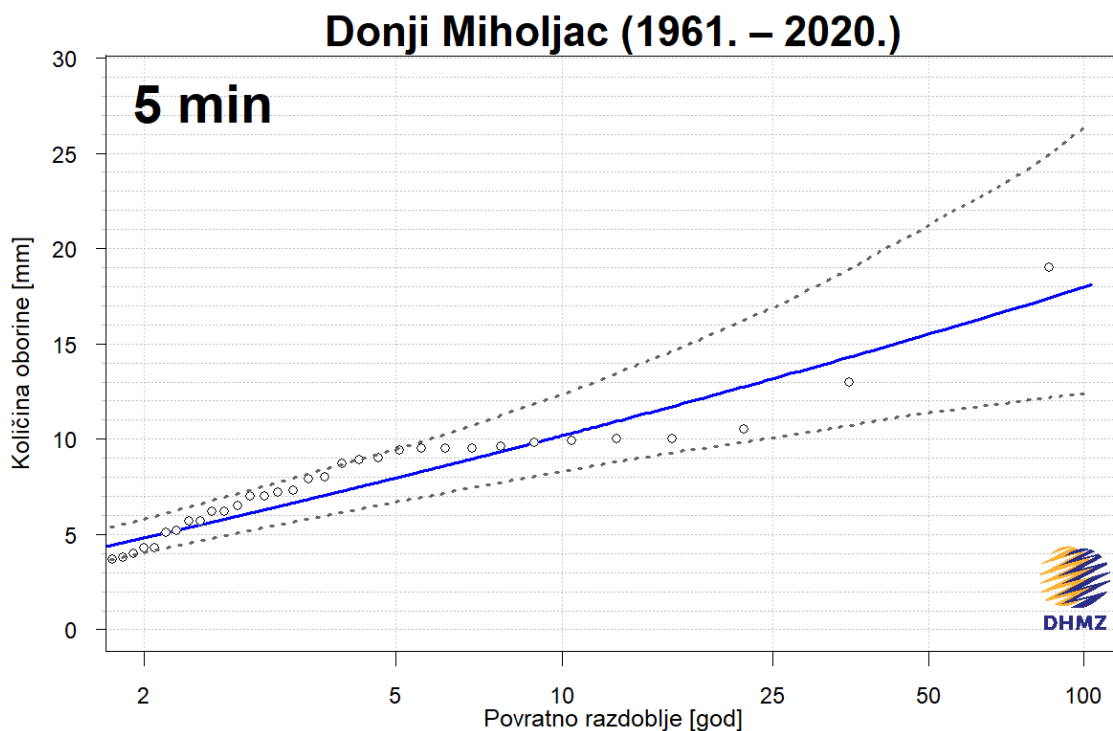
Osnovni statistički parametri oborine za različita trajanja: Rsred – srednjak [mm], StDev – standardna devijacija [mm], CV – koeficijent varijacije oborine, Rmaks – najveća registrirana količina oborine [mm] i pripadni datum i vrijeme, Tmaks – pripadno povratno razdoblje za Rmaks [god]. **DONJI MIHOLJAC, razdoblje 1961. – 2020.**

Trajanje	Rsred	StDev	CV	Rmaks	Datum/Vrijeme	Tmaks
5 min	5.5	3.6	0.65	19.0	1965-07-03 19:50:00	133
10 min	9.0	5.5	0.61	25.9	1965-07-03 19:50:00	49
20 min	13.9	7.8	0.56	34.9	2002-09-10 12:05:00	37
30 min	17.2	9.7	0.56	49.6	2002-09-10 12:15:00	65
40 min	19.7	11.3	0.57	62.0	2002-09-10 12:25:00	86
50 min	21.3	12.8	0.60	73.1	2002-09-10 12:30:00	108
60 min	22.7	13.9	0.61	82.7	2002-09-10 12:35:00	131
2 h	27.2	16.1	0.59	95.7	2002-09-10 13:25:00	121
3 h	29.9	17.2	0.58	96.8	2002-09-10 14:25:00	94
4 h	31.3	17.5	0.56	97.4	2002-09-10 15:25:00	89
6 h	33.8	17.1	0.51	97.5	2002-09-10 15:35:00	96
8 h	36.2	17.1	0.47	97.5	2002-09-10 15:35:00	102
12 h	39.6	18.1	0.46	97.5	2002-09-10 18:55:00	69
24 h	45.2	20.8	0.46	113.6	1972-07-12 21:10:00	66

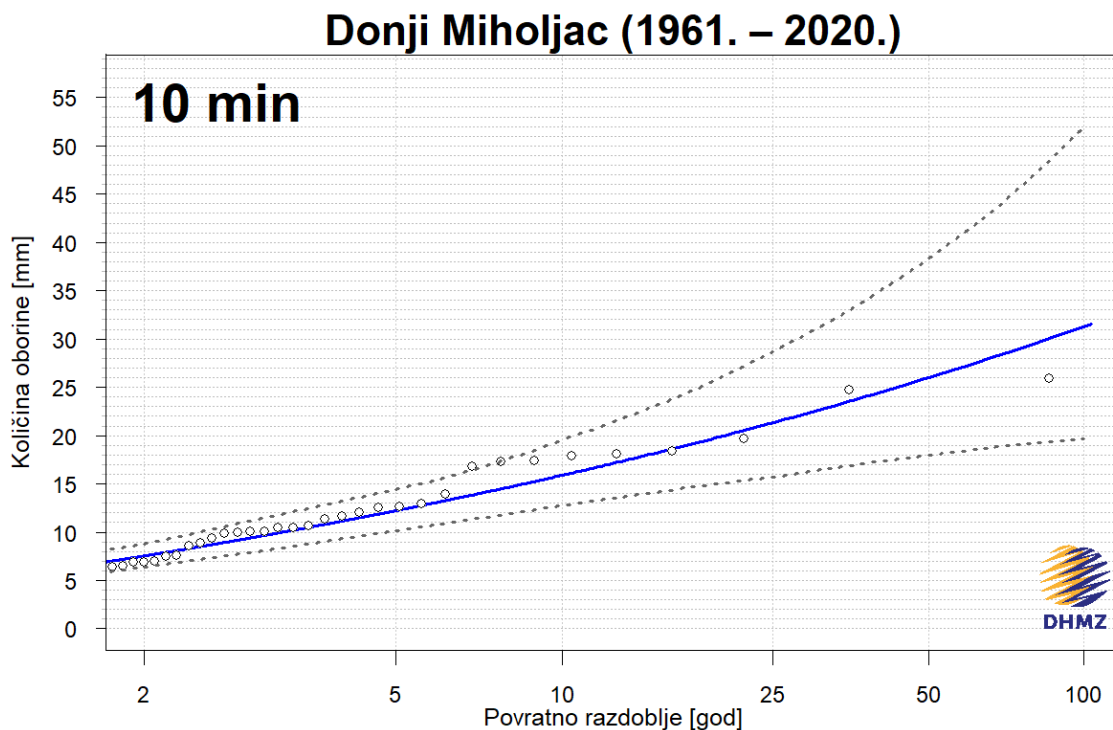
Tablica 2.

Procjene maksimalnih godišnjih količina oborine RT [mm] za različita trajanja i odgovarajuće donje (IPd) i gornje granice (IPg) 95%-tnih intervala pouzdanosti za različita povratna razdoblja T (2, 5, 10, 25, 50 i 100 godina). **DONJI MIHOLJAC**, razdoblje **1961. – 2020.**

Trajanje	T2			T5			T10			T25			T50			T100		
	IPd	RT	IPg	IPd	RT	IPg	IPd	RT	IPg	IPd	RT	IPg	IPd	RT	IPg	IPd	RT	IPg
5 min	4.0	4.8	5.8	6.7	8.0	9.5	8.3	10.2	12.3	10.1	13.2	16.9	11.4	15.5	21.2	12.4	18.0	26.3
10 min	6.4	7.5	8.8	10.2	12.2	14.4	12.8	15.9	19.5	15.7	21.3	28.7	18.0	26.0	38.3	19.7	31.3	52.0
20 min	10.3	11.9	13.8	16.2	18.8	22.0	20.1	24.0	28.8	24.5	31.4	40.0	27.5	37.6	51.5	30.7	44.4	66.3
30 min	12.9	14.8	17.0	19.8	23.3	26.7	24.5	29.7	35.4	29.6	38.9	50.3	33.3	46.6	65.8	36.9	55.0	85.7
40 min	14.6	16.8	19.5	22.4	26.4	31.9	28.0	33.9	42.1	33.5	44.7	60.2	37.4	54.0	78.8	41.4	64.4	102.1
50 min	15.3	18.1	21.2	24.1	28.6	33.5	29.7	36.9	45.2	36.5	49.2	65.6	41.8	59.7	84.7	47.3	71.6	111.8
60 min	16.5	19.1	22.1	25.7	30.4	36.4	31.7	39.3	48.6	38.7	52.6	69.6	43.4	64.1	91.4	48.3	77.2	118.5
2 h	19.7	23.0	26.9	30.7	36.2	42.8	38.8	46.7	57.1	48.4	62.3	83.8	54.6	75.8	112.1	60.8	91.1	149.3
3 h	22.1	25.4	29.4	33.0	39.5	46.2	41.1	50.7	61.1	51.0	67.3	87.0	58.0	81.8	117.1	64.4	98.2	154.1
4 h	23.4	26.8	30.8	34.7	40.9	48.1	42.4	52.1	63.0	51.5	68.9	90.8	59.3	83.6	117.3	66.0	100.3	156.7
6 h	26.1	29.7	33.6	37.7	43.8	50.5	44.8	54.7	64.3	53.7	70.4	87.6	59.9	83.7	114.8	66.3	98.4	150.0
8 h	28.8	32.5	36.6	41.0	47.1	53.9	48.6	57.7	67.9	56.9	72.4	89.6	61.9	84.3	110.2	66.7	97.1	134.5
12 h	31.8	35.6	39.9	44.7	51.1	57.7	53.2	62.5	73.4	62.4	78.3	99.5	68.0	91.2	124.0	72.8	104.9	153.8
24 h	35.5	40.2	45.3	50.2	58.0	66.1	60.5	71.5	83.5	72.0	90.7	112.5	79.4	106.6	143.3	87.0	124.1	182.2

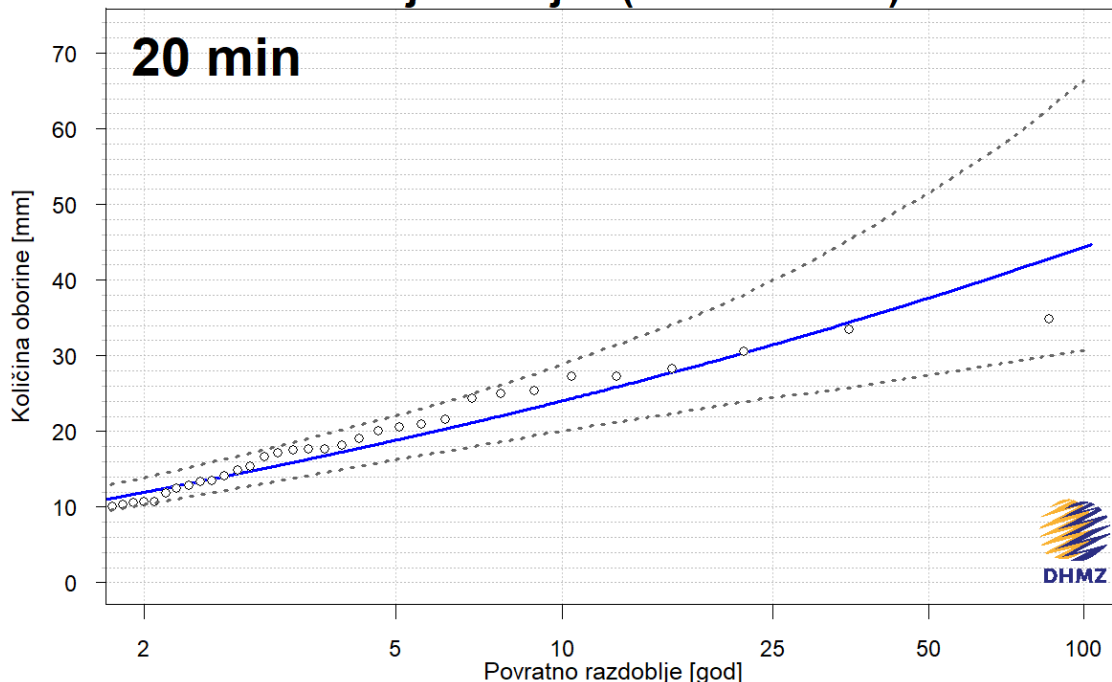


Slika 1. Procjene maksimalnih godišnjih količina oborine za različita povratna razdoblja (plava krivulja) i odgovarajući donji i gornji 95%-tni intervali pouzdanosti (crtkane krivulje) za trajanje **5 minuta**, izračunate pomoću razdiobe GEV



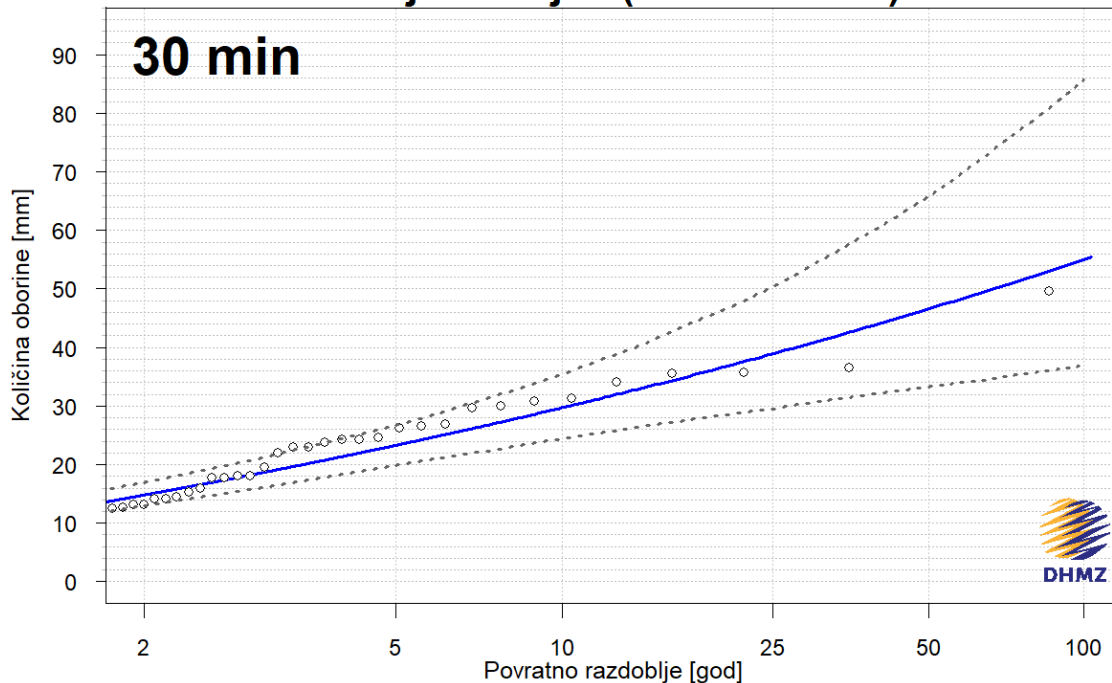
Slika 2. Procjene maksimalnih količina oborine za različita povratna razdoblja (plava krivulja) i odgovarajući donji i gornji 95%-tni intervali pouzdanosti (crtkane krivulje) za trajanje **10 minuta**, izračunate pomoću razdiobe GEV

Donji Miholjac (1961. – 2020.)



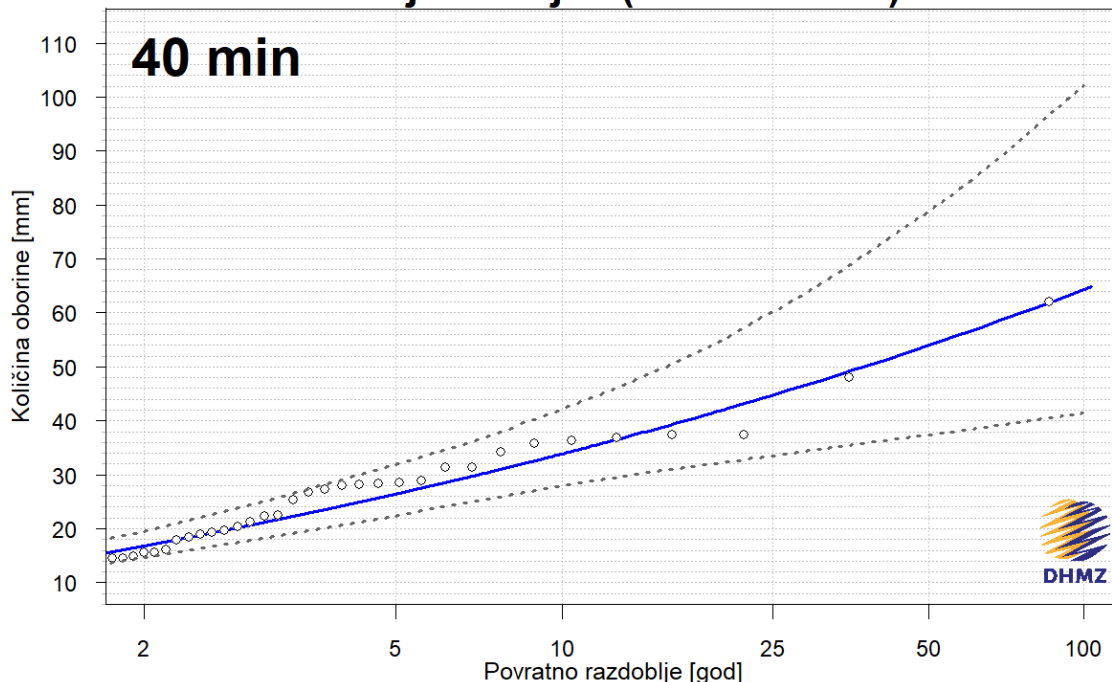
Slika 3. Procjene maksimalnih godišnjih količina oborine za različita povratna razdoblja (plava krivulja) i odgovarajući donji i gornji 95%-tni intervali pouzdanosti (crtkane krivulje) za trajanje **20 minuta**, izračunate pomoću razdiobe GEV

Donji Miholjac (1961. – 2020.)



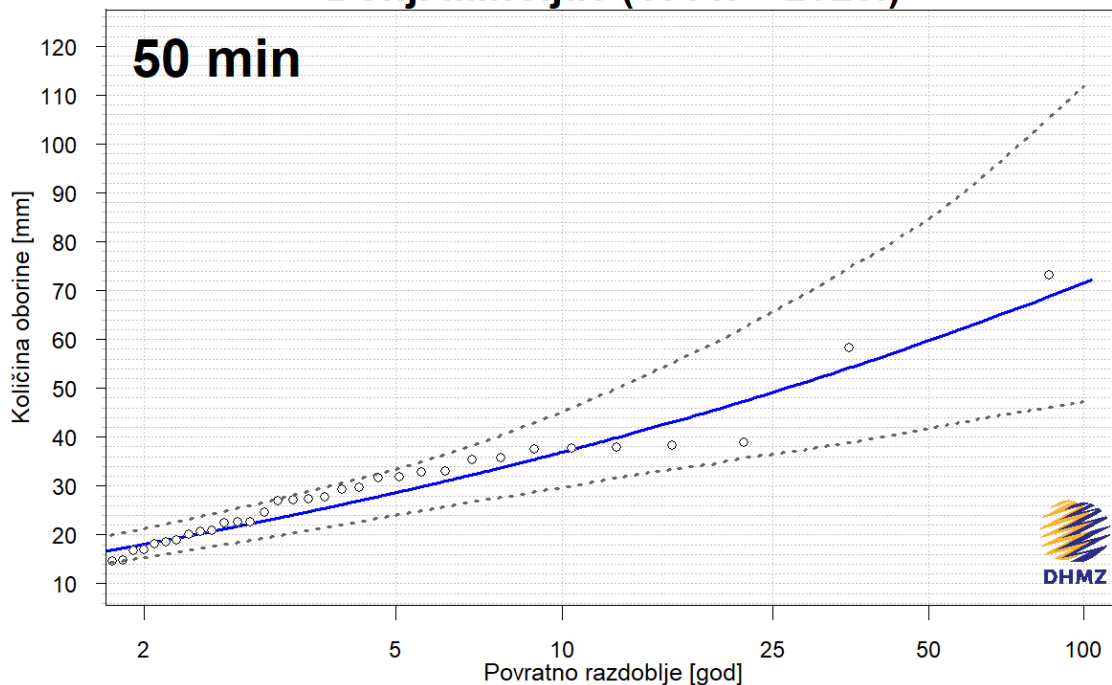
Slika 4. Procjene maksimalnih godišnjih količina oborine za različita povratna razdoblja (plava krivulja) i odgovarajući donji i gornji 95%-tni intervali pouzdanosti (crtkane krivulje) za trajanje **30 minuta**, izračunate pomoću razdiobe GEV

Donji Miholjac (1961. – 2020.)

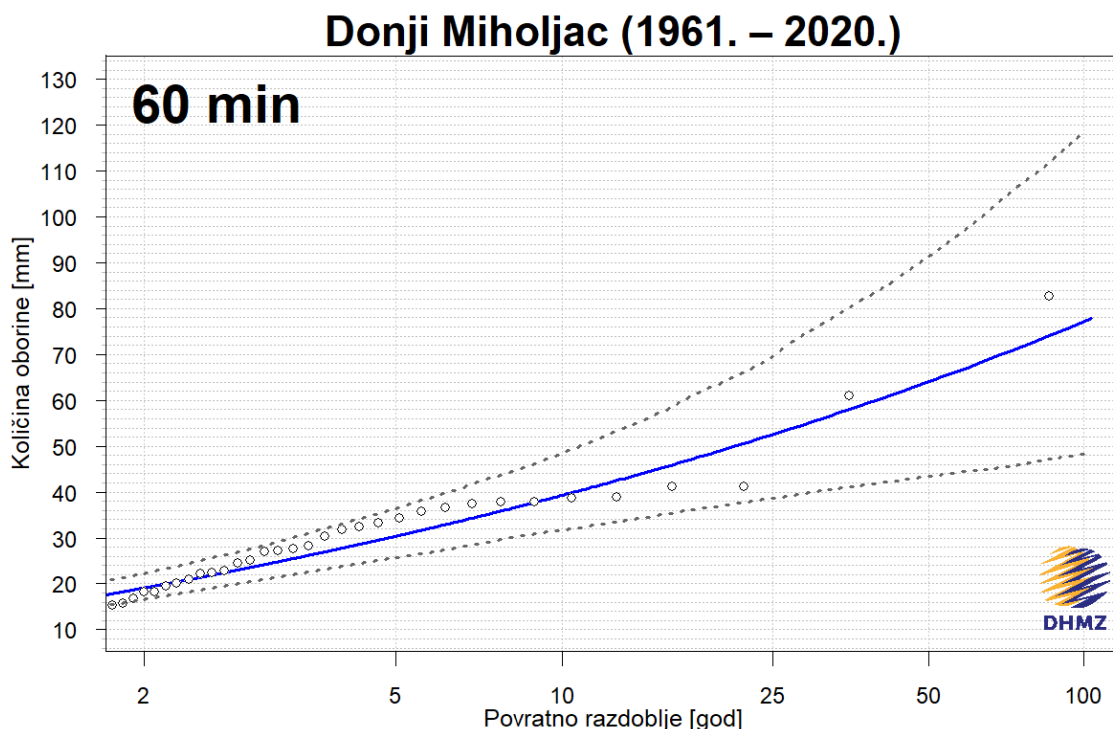


Slika 5. Procjene maksimalnih godišnjih količina oborine za različita povratna razdoblja (plava krivulja) i odgovarajući donji i gornji 95%-tni intervali pouzdanosti (crtkane krivulje) za trajanje **40 minuta**, izračunate pomoću razdiobe GEV

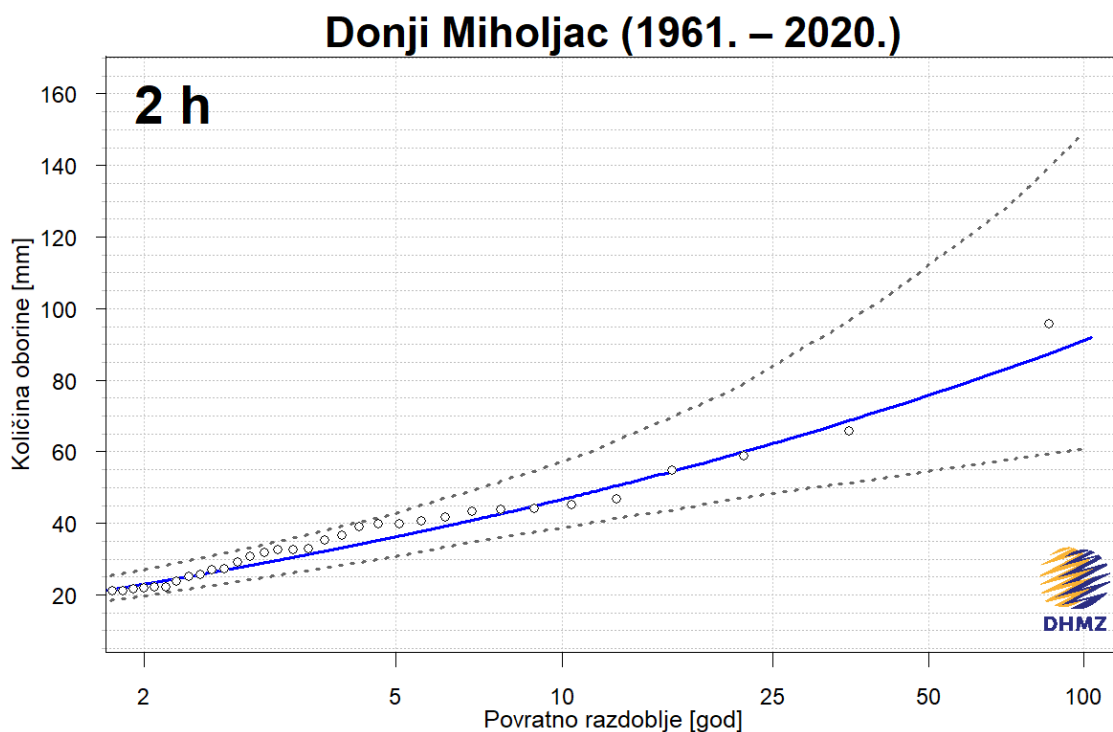
Donji Miholjac (1961. – 2020.)



Slika 6. Procjene maksimalnih godišnjih količina oborine za različita povratna razdoblja (plava krivulja) i odgovarajući donji i gornji 95%-tni intervali pouzdanosti (crtkane krivulje) za trajanje **50 minuta**, izračunate pomoću razdiobe GEV

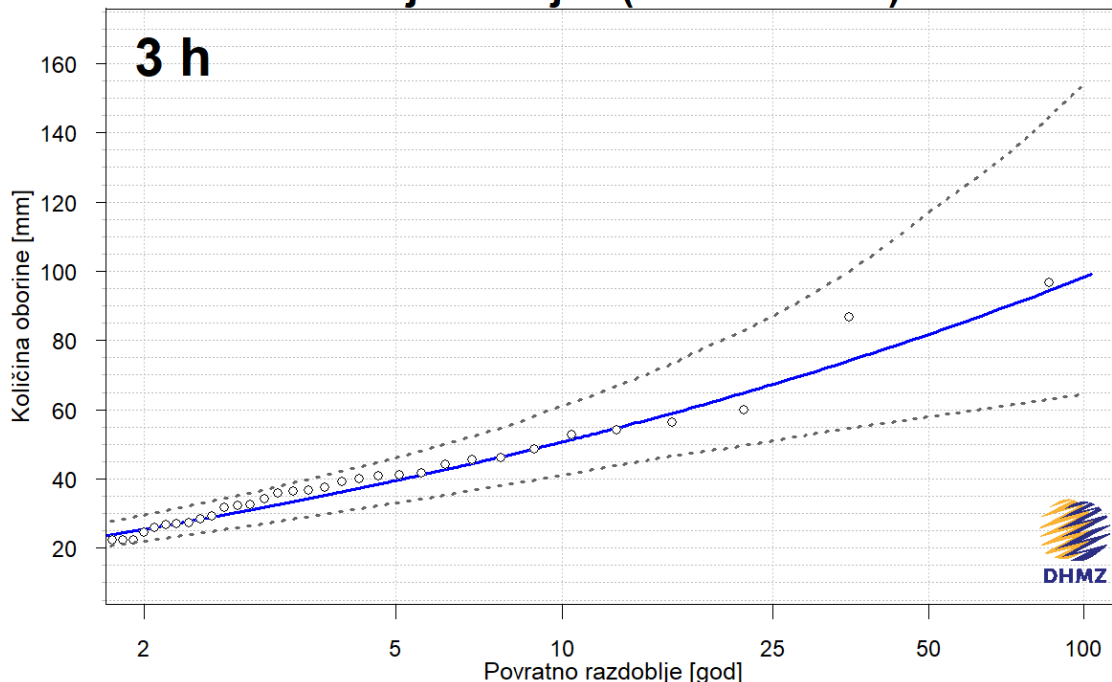


Slika 7. Procjene maksimalnih godišnjih količina oborine za različita povratna razdoblja (plava krivulja) i odgovarajući donji i gornji 95%-tni intervali pouzdanosti (crtkane krivulje) za trajanje **60 minuta**, izračunate pomoću razdiobe GEV



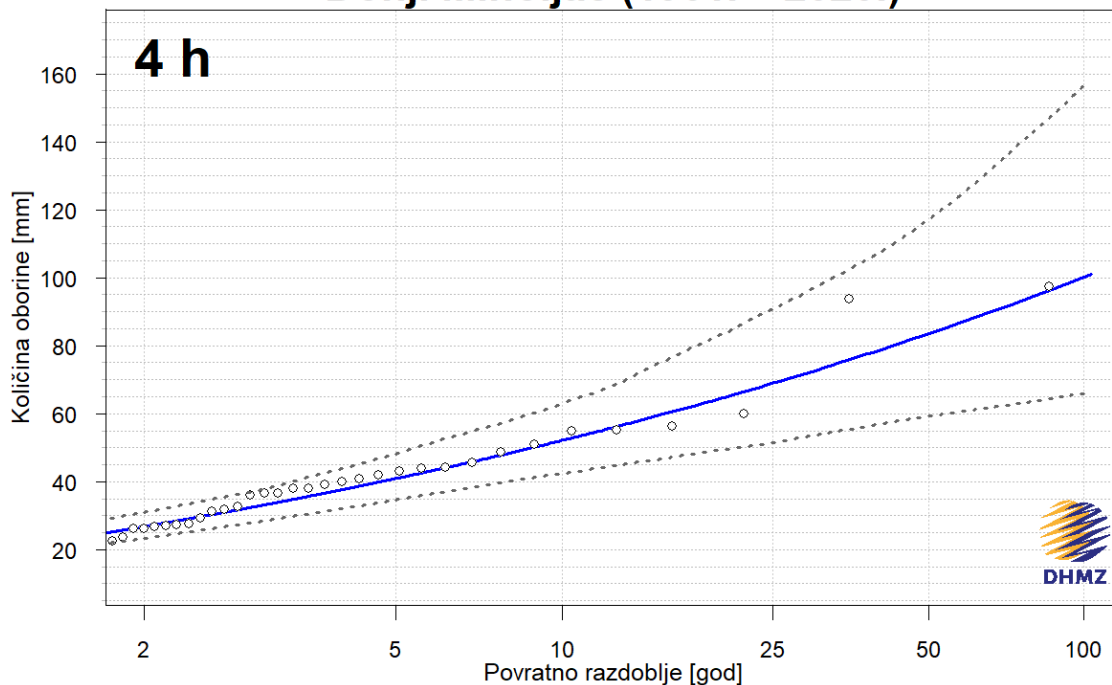
Slika 8. Procjene maksimalnih godišnjih količina oborine za različita povratna razdoblja (plava krivulja) i odgovarajući donji i gornji 95%-tni intervali pouzdanosti (crtkane krivulje) za trajanje **2 h**, izračunate pomoću razdiobe GEV

Donji Miholjac (1961. – 2020.)



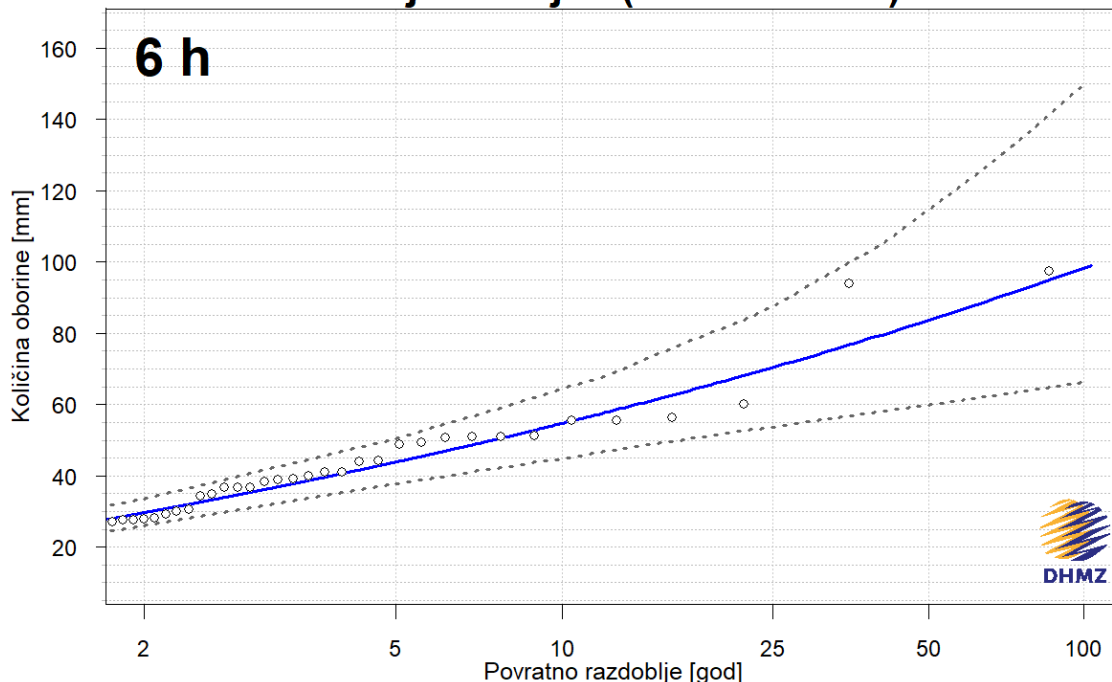
Slika 9. Procjene maksimalnih godišnjih količina oborine za različita povratna razdoblja (plava krivulja) i odgovarajući donji i gornji 95%-tni intervali pouzdanosti (crtkane krivulje) za trajanje 3 h, izračunate pomoću razdiobe GEV

Donji Miholjac (1961. – 2020.)



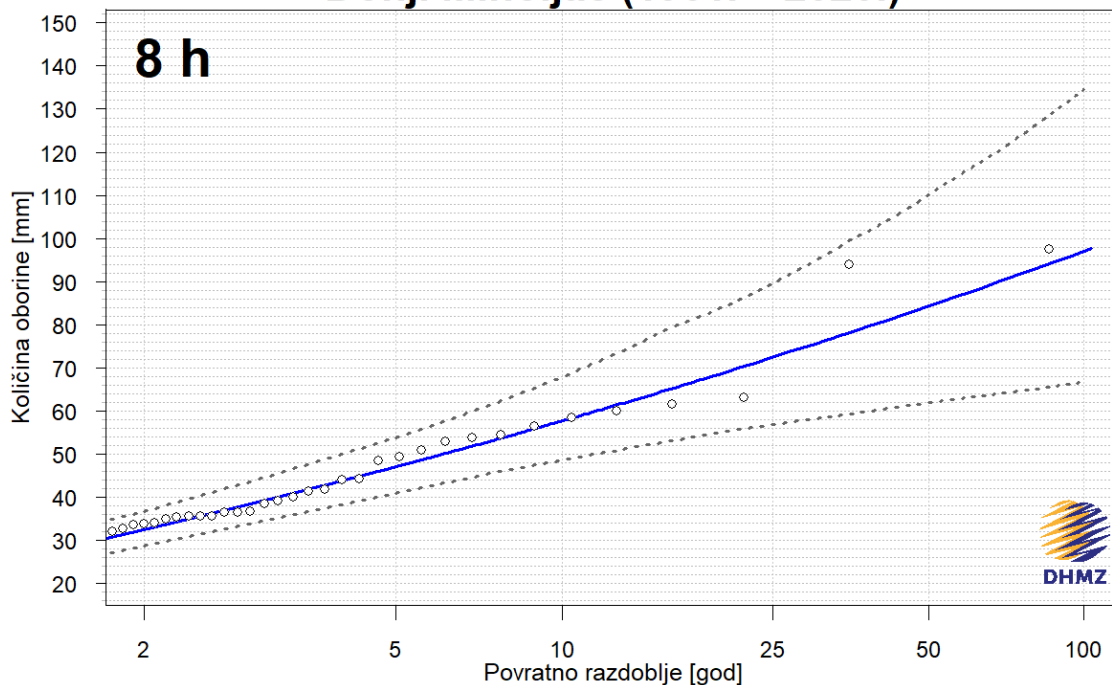
Slika 10. Procjene maksimalnih godišnjih količina oborine za različita povratna razdoblja (plava krivulja) i odgovarajući donji i gornji 95%-tni intervali pouzdanosti (crtkane krivulje) za trajanje 4 h, izračunate pomoću razdiobe GEV

Donji Miholjac (1961. – 2020.)



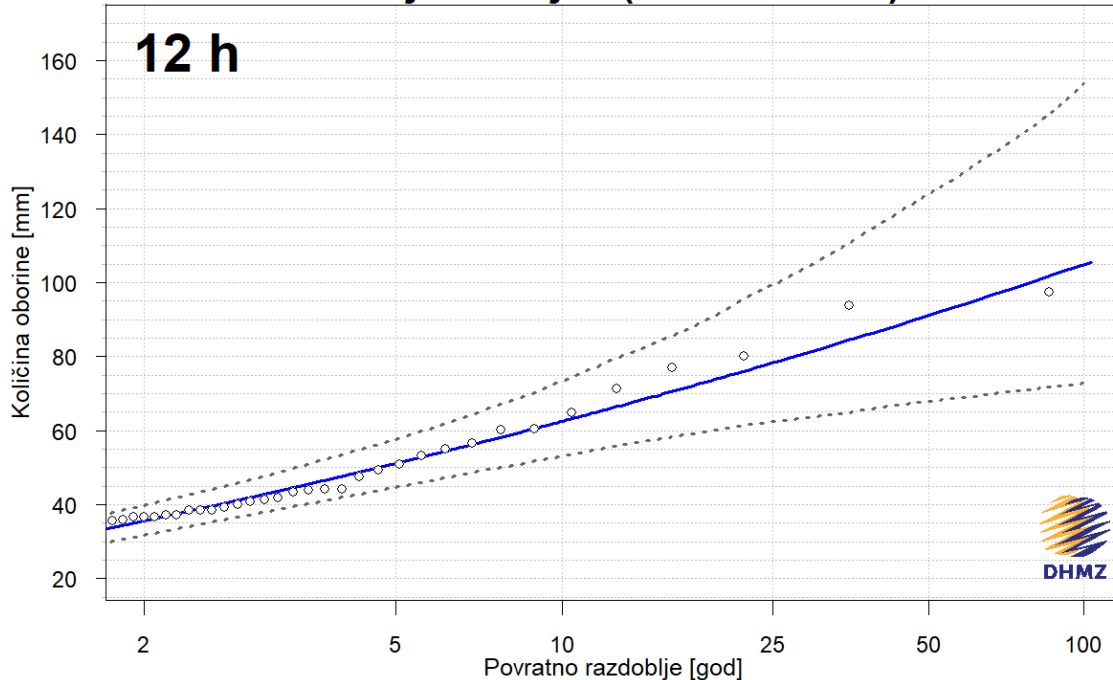
Slika 11. Procjene maksimalnih godišnjih količina oborine za različita povratna razdoblja (plava krivulja) i odgovarajući donji i gornji 95%-tni intervali pouzdanosti (crtkane krivulje) za trajanje **6 h**, izračunate pomoću razdiobe GEV

Donji Miholjac (1961. – 2020.)



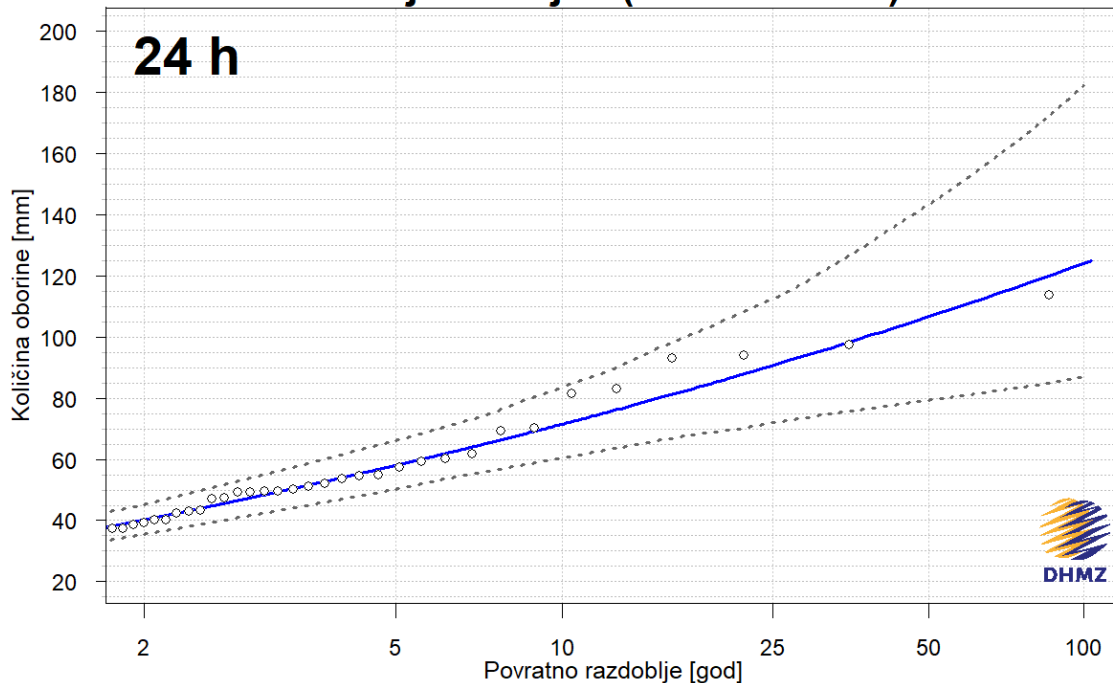
Slika 12. Procjene maksimalnih godišnjih količina oborine za različita povratna razdoblja (plava krivulja) i odgovarajući donji i gornji 95%-tni intervali pouzdanosti (crtkane krivulje) za trajanje **8 h**, izračunate pomoću razdiobe GEV

Donji Miholjac (1961. – 2020.)



Slika 13. Procjene maksimalnih godišnjih količina oborine za različita povratna razdoblja (plava krivulja) i odgovarajući donji i gornji 95%-tni intervali pouzdanosti (crtkane krivulje) za trajanje **12 h**, izračunate pomoću razdiobe GEV

Donji Miholjac (1961. – 2020.)



Slika 14. Procjene maksimalnih godišnjih količina oborine za različita povratna razdoblja (plava krivulja) i odgovarajući donji i gornji 95%-tni intervali pouzdanosti (crtkane krivulje) za trajanje **24 h**, izračunate pomoću razdiobe GEV